

УДК 621.78

## ПРЕДЕЛЬНАЯ МОДЕЛЬ ЭЛЕКТРОХИМИЧЕСКОЙ РАЗМЕРНОЙ ОБРАБОТКИ МЕТАЛЛОВ

В. П. Житников, Е. М. Ошмарина, С. С. Поречный, Г. И. Федорова

Уфимский государственный авиационный технический университет, 450000 Уфа, Россия  
E-mails: zhitnik@ugatu.ac.ru, elena\_azalka@mail.ru, porechny@mail.ru, g\_fed@mail.ru

Для исследования способа прецизионной электрохимической обработки предложена модель, в которой выход по току имеет вид скачкообразной функции плотности тока. Сформулированы и решены задачи предельно стационарной и квазистационарной обработки, что позволило с достаточной точностью исследовать нестационарный процесс.

Ключевые слова: скачкообразная функция выхода по току, квазистационарное решение, конформные отображения, метод коллокаций.

**Введение.** Моделирование растворения при электрохимической обработке (ЭХО) основано на законе Фарадея, согласно которому скорость растворения равна

$$V_{\text{ЭХО}} = k\eta j, \quad k = \varepsilon/\rho,$$

где  $\varepsilon$  — электрохимический эквивалент;  $\rho$  — плотность растворяемого материала;  $j$  — плотность тока на анодной границе;  $\eta = \eta(j)$  — выход по току (доля тока, участвующего в реакции растворения металла).

При использовании ЭХО с непрерывной подачей тока и поступательным движением электрода-инструмента (ЭИ) в электролите происходят накопление продуктов реакции и другие побочные эффекты, что приводит к уменьшению точности обработки. В настоящее время для повышения точности применяются прецизионные технологии импульсно-циклической ЭХО, в которых на поступательное движение ЭИ накладывается колебательная (обычно синусоидальная) составляющая, а ток подается прямоугольными импульсами в моменты наибольшего сближения ЭИ с деталью. При отходе ЭИ от детали происходит замена отработанного электролита. Вследствие малости скоростей ЭХО (несколько миллиметров в минуту) и кратковременности импульсов (порядка 1–3 мс) изменение размера межэлектродного зазора за один период можно считать малой величиной. Тогда можно применить дискретно-непрерывную модель процесса, для которой справедлива указанная выше зависимость скорости растворения от плотности тока, при этом коэффициент пропорциональности  $k$  уменьшается в  $Q$  раз ( $Q$  — скважность импульса).

В данной работе рассматриваются прецизионные технологии обработки, характеризующиеся высокой степенью локализации процесса растворения, которая в случае ЭХО определяется коэффициентом

$$k_{loc} = \frac{S}{V_{\text{ЭХО}}} \left| \frac{dV_{\text{ЭХО}}}{dS} \right|$$

---

Работа выполнена при финансовой поддержке Министерства образования и науки РФ в рамках базовой части государственного задания образовательным организациям высшего образования (код проекта 2229).

© Житников В. П., Ошмарина Е. М., Поречный С. С., Федорова Г. И., 2014

( $S$  — размер зазора между электродами). При заданной зависимости выхода по току от плотности тока  $\eta(j)$  и постоянных потенциалах электродов коэффициент локализации вычисляется по формуле [1]

$$k_{loc} = 1 + \frac{j}{\eta} \frac{d\eta}{dj}.$$

Для повышения степени локализации используются пассивирующие электролиты, в которых электрохимическое растворение происходит только при плотностях тока, превышающих некоторое критическое значение  $j_1$ , что подтверждается экспериментальными данными [2, 3]. В работах [4–7] зависимость  $\eta(j)$  для таких электролитов аппроксимируется гиперболической зависимостью

$$\eta(j) = \begin{cases} \eta_0(1 - j_1/j), & j > j_1, \\ 0, & j < j_1. \end{cases}$$

В рассматриваемых процессах существенное увеличение коэффициента локализации имеет место при малых значениях плотности тока ( $j_1 \approx 20 \text{ А/см}^2$ ), что обусловлено потерей производительности.

В последнее время разработаны технологии, характеризующиеся высокой точностью и производительностью [1]. Экспериментальные данные свидетельствуют о том, что при использовании таких технологий процесс растворения резко прекращается при достижении критического значения  $j_1$ , т. е. зависимость  $\eta(j)$  имеет разрыв первого рода [8]. Уменьшение длины импульса приводит к сдвигу  $j_1$  в сторону больших значений (до  $j_1 \approx 100 \text{ А/см}^2$ ) [1], что подтверждается, в частности, наличием четко выраженных границ между зонами растворения и нерастворения.

**1. Задача прецизионной стационарной ЭХО.** В работах [8–10] предложено исследовать процесс ЭХО в случае скачкообразной зависимости выхода по току от плотности тока

$$\eta(j) = \begin{cases} \eta_0, & j > j_1, \\ 0, & j < j_1. \end{cases} \quad (1)$$

Такая модель позволяет описать прецизионные процессы, однако в соответствии с условием (1) необходимо изменить формулировку и методы решения задач.

Рассмотрим стационарную задачу об электрохимической обработке с помощью ЭИ в виде клина  $A'CB'$  с углом раствора, равным  $\pi/2$ , движущегося вертикально вниз с постоянной скоростью  $V_{et}$ . Сечение межэлектродного пространства, показанное на рис. 1, *a*, не изменяется со временем, происходит только его сдвиг вниз на величину  $V_{et}t$ .

Электрическое поле считается потенциальным и соленоидальным. Для решения задачи применяются методы теории функций комплексной переменной.

На границах, соответствующих границам ЭИ и обрабатываемой поверхности, потенциал  $\varphi$  считается постоянным, поэтому областью, соответствующей межэлектродному пространству на плоскости комплексного потенциала  $W$ , является полоса шириной  $U$  ( $U$  — разность потенциалов между электродами) (см. рис. 1, *б*).

Зависимость выхода по току от напряженности определяется скачкообразной функцией (1). На обрабатываемой поверхности имеется два участка с краевыми условиями двух типов. На первом участке  $AD$  вследствие близости к поверхности ЭИ напряженность превышает значение  $E_1 = j_1/\kappa$  ( $\kappa$  — электропроводность электролита) и выполняется условие стационарности  $V_{ЭХО} = V_{et} \cos \gamma$  ( $\gamma$  — угол между направлением движения ЭИ и нормалью к анодной поверхности) [2]. В плоскости годографа с напряженностью  $\bar{E} = dW/dZ = |E| e^{-i\theta}$  ( $\theta$  — угол наклона вектора напряженности к оси  $X$ ) (см. рис. 1, *в*)

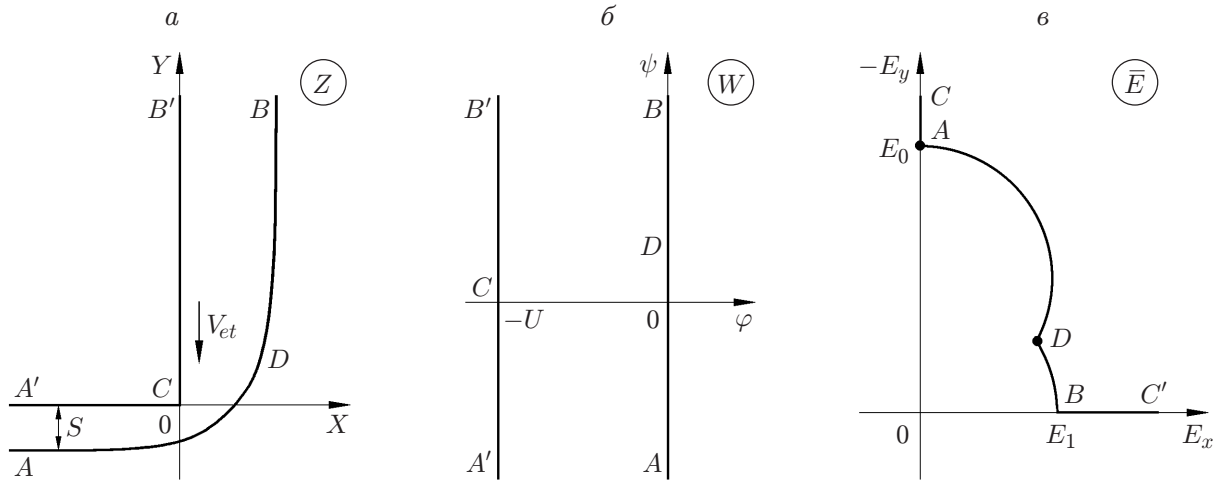


Рис. 1. Формы межэлектродного пространства на различных плоскостях для стационарной задачи:

*a* — физическая плоскость; *б* — плоскость комплексного потенциала; *в* — плоскость годографа напряженности

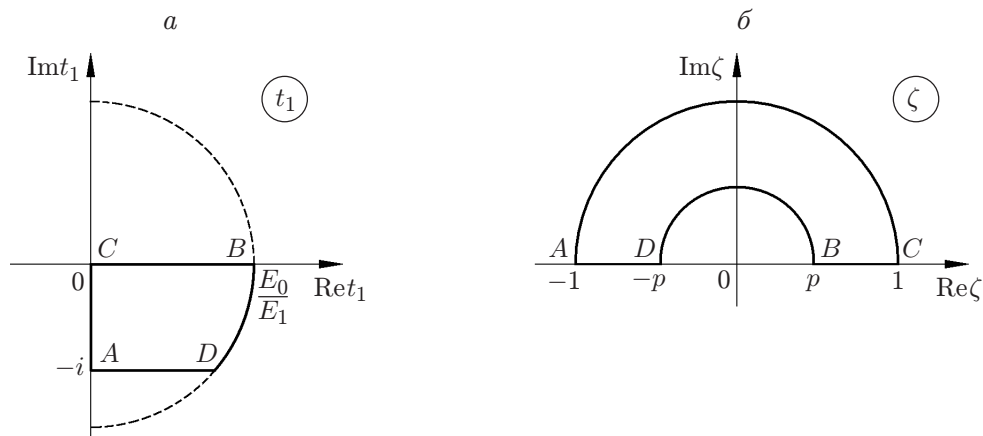


Рис. 2. Формы межэлектродного пространства на параметрических плоскостях  $t_1$  (*a*) и  $\zeta$  (*б*) для стационарной задачи

участку  $AD$  соответствует дуга окружности радиусом  $E_0/2$  с центром в точке  $iE_0/2$ , где  $E_0 = V_{et}/(k\eta_0\kappa)$  — напряженность в точке  $A$ . Участку  $DB$  с постоянным модулем напряженности на плоскости  $\bar{E}$  соответствует дуга окружности радиусом  $E_1 \leq E_0$  с центром в начале координат. Поскольку поверхности электродов эквипотенциальны, вектор напряженности на границе направлен по нормали к ней в каждой точке. Поэтому на участках границы  $A'C$  и  $CB'$  угол наклона вектора напряженности к оси  $X$  равен  $\theta = -\pi/2$ ; 0 соответственно. В плоскости годографа этим участкам соответствуют вертикальный и горизонтальный лучи.

Введем параметрические плоскости  $t_1 = E_0/\bar{E}$  и  $\zeta$ . Области межэлектродного пространства на этих плоскостях показаны на рис. 2. Задача решается с помощью метода, использованного в [8, 9] для решения задач обработки точечным и горизонтальным пластинчатым ЭИ.

Функция  $t_1(\zeta)$  представляется в виде суммы известной функции с заданными особенностями, учитывающими свойства решения, и ряда Лорана с действительными коэффици-

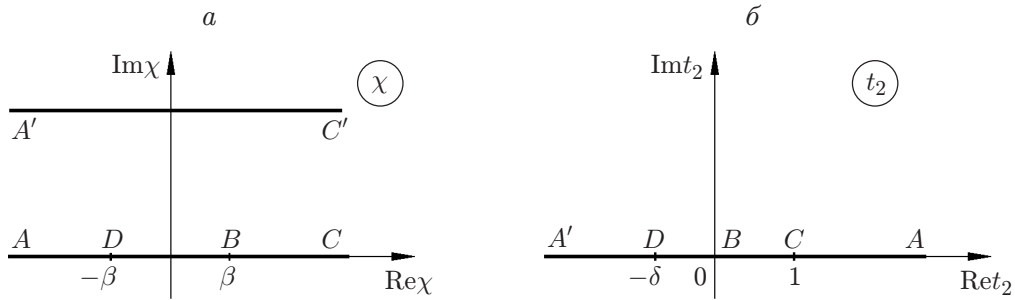


Рис. 3. Формы межэлектродного пространства на параметрических плоскостях  $\chi$  (а) и  $t_2$  (б)

циентами:

$$t_1(\zeta) = -\frac{1}{\pi} \ln \zeta + \sum_{m=1}^{\infty} d_m (\zeta^m - \zeta^{-m}). \tag{2}$$

На трех участках границы функция (2) удовлетворяет следующим условиям:

$$BC: \text{Im } t_1 = 0, \quad AC: \text{Re } t_1 = 0, \quad AD: \text{Im } t_1 = -1.$$

На участке  $BD$  условие  $|t_1| = E_0/E_1$  выполняется за счет подбора коэффициентов  $d_m$ .

Для построения отображения  $W(\zeta)$  целесообразно использовать промежуточные плоскости. Рассмотрим полосу на плоскости  $\chi$  (рис. 3,а). Будем искать функцию  $\chi(\zeta)$  в виде

$$\chi(\zeta) = -\frac{2}{\pi} \ln \frac{\zeta - 1}{\zeta + 1} + i + \sum_{m=1}^{\infty} c_{2m-1} (\zeta^{2m-1} + \zeta^{-2m+1}).$$

Разложим логарифм в ряд Тейлора. Так как при  $\zeta = p e^{i\sigma}$  (участок границы  $DB$ ) должно выполняться условие  $\text{Im} [\chi(p e^{i\sigma})] = 0$ , то

$$c_{2m-1} = -\frac{4}{\pi} \frac{1}{2m-1} \frac{p^{2m-1}}{p^{2m-1} - p^{-2m+1}}.$$

Таким образом, функция  $\chi(\zeta)$  представляется в виде ряда с известными коэффициентами

$$\chi(\zeta) = -\frac{2}{\pi} \ln \frac{\zeta - 1}{\zeta + 1} + i - \frac{4}{\pi} \sum_{m=1}^{\infty} \frac{1}{2m-1} \frac{p^{2m-1}}{p^{2m-1} - p^{-2m+1}} (\zeta^{2m-1} + \zeta^{-2m+1}).$$

В частности,

$$\beta = \chi(p) = -\frac{2}{\pi} \ln \frac{1-p}{1+p} - \frac{4}{\pi} \sum_{m=1}^{\infty} \frac{1}{2m-1} \frac{p^{2m-1}}{p^{2m-1} - p^{-2m+1}} (p^{2m-1} + p^{-2m+1}).$$

Чтобы перейти с полосы в плоскости  $\chi$  на полосу в плоскости  $W$ , используем верхнюю полуплоскость  $t_2$  (см. рис. 3,б). Тогда

$$\chi = -\frac{1}{\pi} \ln (t_2 - 1) + i + \beta, \quad W = -i \frac{U}{\pi} \ln t_2 - U.$$

Выразив  $t_2$  через  $\chi$ , получаем

$$t_2 = 1 - e^{-\pi(\chi - \beta)}, \quad W = -i \frac{U}{\pi} \ln (e^{-\pi(\chi - \beta)} - 1).$$

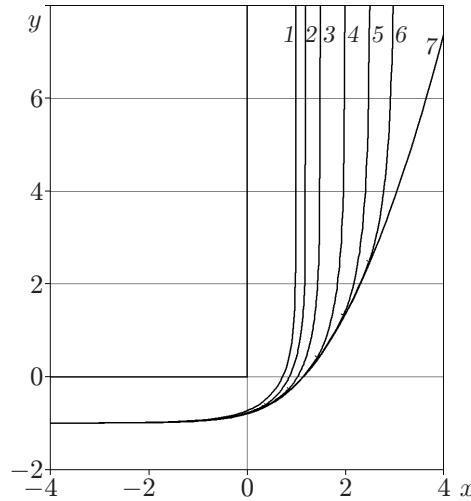


Рис. 4. Формы обрабатываемой поверхности:

1 —  $\alpha = 1,0$ , 2 —  $\alpha = 1,2$ , 3 —  $\alpha = 1,5$ , 4 —  $\alpha = 2,0$ , 5 —  $\alpha = 2,5$ , 6 —  $\alpha = 3,0$ , 7 —  $\alpha = \infty$

Найдем производные  $dW/d\zeta$  и  $dZ/d\zeta$ :

$$\frac{dW}{d\zeta} = \frac{dW}{d\chi} \frac{d\chi}{d\zeta} = i \frac{4U}{\pi} \frac{e^{-\pi(\chi-\beta)}}{1 - e^{-\pi(\chi-\beta)}} \left( \frac{1}{\zeta^2 - 1} + \frac{1}{\zeta} \sum_{m=1}^{\infty} \frac{p^{2m-1}}{p^{2m-1} - p^{-2m+1}} (\zeta^{2m-1} - \zeta^{-2m+1}) \right);$$

$$\frac{dZ}{d\zeta} = \frac{dZ}{dW} \frac{dW}{d\zeta} = \frac{1}{E_0} t_1(\zeta) \frac{dW}{d\zeta}. \tag{3}$$

Таким образом, алгоритм решения задачи сводится к определению коэффициентов ряда Лорана  $d_m$  методом коллокаций с использованием условия  $|t_1(p e^{i\sigma})| = \alpha = E_0/E_1$  при  $0 \leq \sigma \leq \pi$  и к численному интегрированию выражения (3).

Формы обрабатываемой поверхности показаны на рис. 4. Заметим, что для данной задачи отношение асимптотических значений размеров бокового  $S_s$  и торцевого  $S$  зазоров равно  $S_s/S = \alpha$ .

При  $\alpha \rightarrow \infty$  зона постоянной напряженности исчезает и решение переходит в стационарное решение [11]

$$z = \frac{2}{\pi} \int_{-1}^w \ln \left( \sqrt{e^{-i\pi w} + 1} + e^{-i\pi w/2} \right) dw - i(w + 1),$$

где  $w = W/U$ ;  $z = Z/S$ ;  $S = U/E_0$ .

При  $\alpha \rightarrow 1$  ( $E_1 \rightarrow E_0$ ,  $D \rightarrow A$ ) зона активного растворения исчезает, а зона постоянной напряженности охватывает всю обрабатываемую поверхность. В результате возникает предельно стационарный режим, который для данной задачи описывается решением [4]

$$z = -i \frac{2}{\pi} \left( \ln \frac{t_3 - 1}{t_3 + 1} + i \ln \frac{t_3 - i}{t_3 + i} \right),$$

где  $t_3 = \sqrt{(e^{-i\pi w/2} + i)/(e^{-i\pi w/2} - i)}$ .

Следует отметить, что предельно стационарный режим отличается от предельного [4, 11] тем, что, как и при стационарном режиме, форма межэлектродного пространства в системе координат, связанной с подвижным ЭИ, сохраняется.

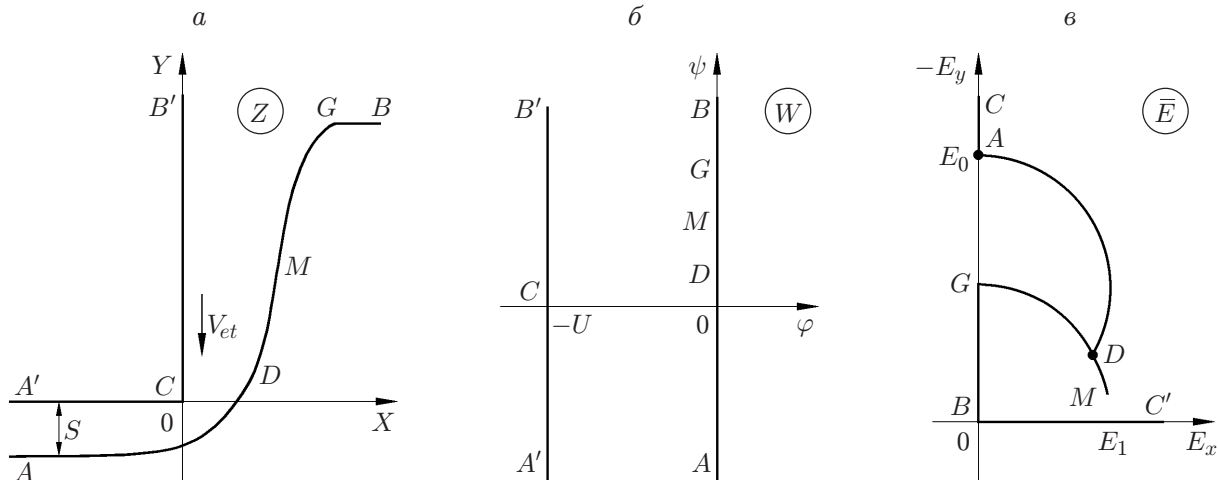


Рис. 5. Формы межэлектродного пространства на различных плоскостях для квазистационарной задачи:

*a* — физическая плоскость; *б* — плоскость комплексного потенциала; *в* — плоскость годографа напряженности

**2. Квазистационарная модель ЭХО.** Наряду с известными задачами ЭХО: стационарной, предельной, автомодельной и нестационарной общего вида, рассмотренными в [1, 4–10], условие (1) позволяет сформулировать задачи нового типа: предельно стационарную и квазистационарную.

Рассмотрим задачу об изменении формы поверхности при обработке ЭИ в виде клина  $A'CB'$  с углом раствора, равным  $\pi/2$ , движущегося вертикально вниз с постоянной скоростью  $V_{et}$  (рис. 5, *a*). Образом межэлектродного пространства на плоскости комплексного потенциала является полоса шириной  $U$  (рис. 5, *б*).

При квазистационарном процессе с зависимостью выхода по току от плотности тока (1) на обрабатываемой поверхности образуются три участка. На горизонтальном участке  $GB$ , где  $|E| < E_1$ , растворение отсутствует ( $\theta = -\pi/2$ ). На участке  $AD$  напряженность за счет близости к ЭИ превышает значение  $E_1$  и выполняется условие стационарности, приведенное выше. В плоскости годографа напряженности  $\bar{E} = dW/dZ$ , как и в предыдущей задаче, участку  $AD$  соответствует дуга окружности радиусом  $E_0/2$  с центром в точке  $iE_0/2$  (см. рис. 5, *в*). Переходному участку  $DMG$  ( $M$  — точка перегиба границы обрабатываемой поверхности) соответствует дуга окружности радиусом  $E_1 \leq E_0$  с центром в начале координат. Граница на плоскости  $\bar{E}$  может содержать разрез по дуге  $|\bar{E}| = E_1$ . Однако разрез на продолжении дуги  $AD$  невозможен, поскольку при  $|\bar{E}| < E_1$  условие стационарности не выполняется.

Изменение времени моделируется сдвигом электрода-инструмента  $A'CB'$  в направлении обрабатываемой поверхности относительно ее исходного положения на величину  $L = V_{et}t$  ( $t$  — время). Величина сдвига  $L$  определяет положение конца разреза  $M$ .

Введем параметрические плоскости  $t_1 = E_0/\bar{E}$  и  $\zeta$ . Области межэлектродного пространства на этих плоскостях показаны на рис. 6. Конформное отображение  $t_1(\zeta)$  проще найти путем численного интегрирования производной

$$\frac{dt_1}{d\zeta} = \frac{1}{(\zeta^2 + \gamma^2)^{1/2}(\zeta^2 + \beta^2)^{3/2}} \sum_{m=0}^{\infty} c_{2m} \zeta^{2m}, \quad (4)$$

поскольку на участках границы  $AD$ ,  $AC$  и  $BG$  производная имеет действительные значения, на участке  $BC$  — мнимые.

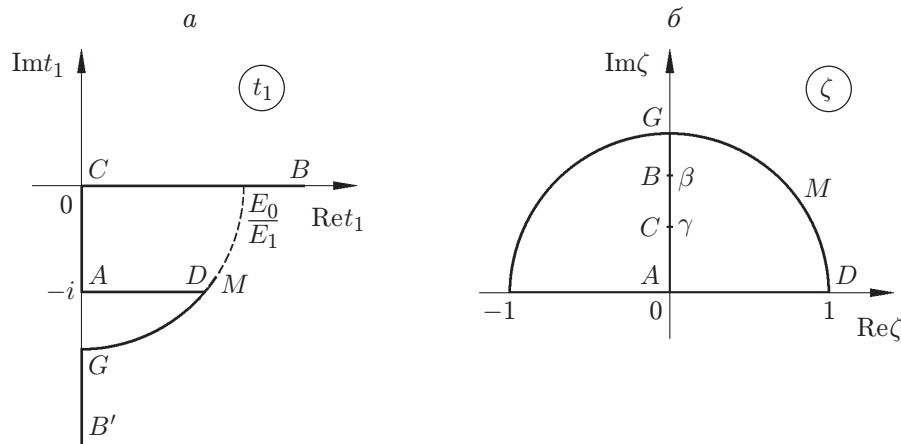


Рис. 6. Формы межэлектродного пространства на параметрических плоскостях  $t_1$  (а) и  $\zeta$  (б) для квазистационарной задачи

Для получения отображения  $W(\zeta)$  используем метод особых точек Чаплыгина:

$$W(\zeta) = -i \frac{U}{\pi} \ln \frac{(\zeta^2 + \beta^2)(\zeta^2 + \beta^{-2})}{2\zeta^2} + c$$

( $c$  — константа). Функция  $Z(\zeta)$  находится путем численного интегрирования:

$$Z(\zeta) = \frac{1}{E_0} W(\zeta) \int_{i\gamma}^{\zeta} \frac{dt_1}{d\zeta} d\zeta - \frac{1}{E_0} \int_{i\gamma}^{\zeta} W(\zeta) \frac{dt_1}{d\zeta} d\zeta. \tag{5}$$

Задача решается методом коллокаций, т. е. в сумме (4) сохраняется  $N$  слагаемых, а параметры  $c_{2m}$  и  $\beta$  определяются с использованием условия  $|t_1(p e^{i\sigma})| = \alpha = E_0/E_1$ , заданного на дискретном множестве узловых точек  $\sigma_m = m\pi/(2N)$ . При этом функцию  $t_1(\zeta)$  можно вычислить, численно интегрируя (4) с условиями  $t_1(i\gamma) = 0, t_1(0) = -i, \text{Re } t_1(i) = 0$ . Параметр  $\gamma$  определяется по заданному значению  $L$ .

Расчет формы обрабатываемой поверхности проводится путем численного интегрирования (5).

Введем обозначения  $U/E_1 = H, z = Z/H, \tau = tV_{et}/H$ . Так как  $L = V_{et}t$ , то  $\tau = L/H$ . На рис. 7,а показаны формы обрабатываемой поверхности в неподвижной системе координат при  $\alpha = 2$ . Видно, что вблизи зоны  $GB$ , в которой растворения не происходит, образуется предельная форма (кривая 8), соответствующая известному решению задачи об истечении жидкости из-под щита [12].

На рис. 7,б показаны формы обрабатываемой поверхности в системе координат, связанной с движущимся ЭИ. Это позволяет обнаружить стационарную конфигурацию (кривая 8).

**Заключение.** Использование предложенной модели ЭХО со скачкообразной функцией выхода по току дает возможность исследовать формообразование при предельно высокой степени локализации процесса растворения в соответствии с принятой моделью. Сформулированы и решены задачи стационарной и квазистационарной ЭХО, что позволило изучить зависимость формы обрабатываемой поверхности от времени, не решая нестационарную задачу. При этом изменение времени моделировалось сдвигом кромки ЭИ вниз и заглублением в тело заготовки. Формулировка такой задачи возможна при существовании переходного участка с постоянным модулем напряженности. Как показывают численные

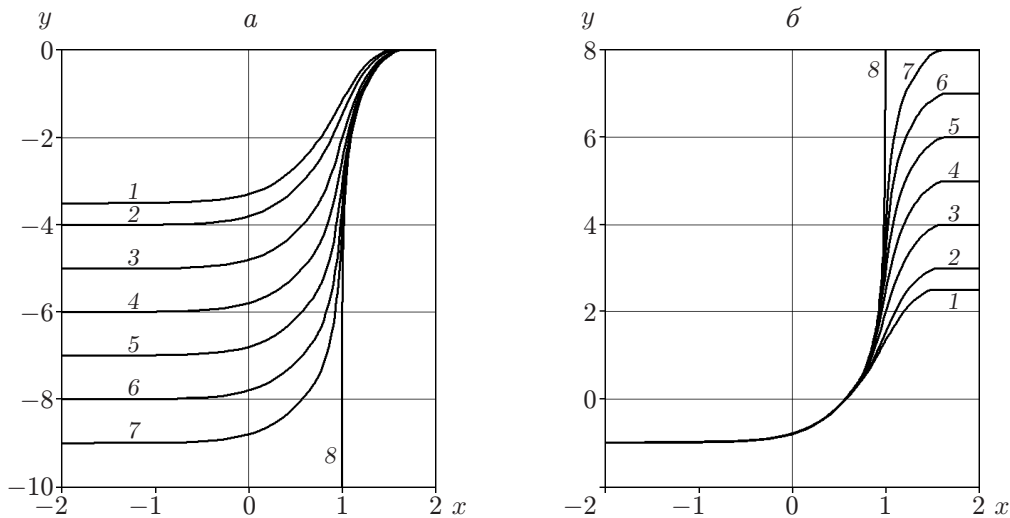


Рис. 7. Формы обрабатываемой поверхности:

$a$  — в неподвижной системе координат,  $b$  — в системе координат, связанной с кромкой ЭИ; 1 —  $\tau = 2,5$ , 2 —  $\tau = 3,0$ , 3 —  $\tau = 4,0$ , 4 —  $\tau = 5,0$ , 5 —  $\tau = 6,0$ , 6 —  $\tau = 7,0$ , 7 —  $\tau = 8,0$ , 8 —  $\tau = \infty$

исследования, квазистационарные решения достаточно точно описывают нестационарный процесс.

#### ЛИТЕРАТУРА

1. **Житников В. П.** Импульсная электрохимическая размерная обработка / В. П. Житников, А. Н. Зайцев. М.: Машиностроение, 2008.
2. **Седыкин Ф. В., Орлов Б. П., Матасов В. Ф.** Исследование анодного тока при электрохимической обработке при постоянном и импульсном напряжении // Технология машиностроения. 1975. Т. 39. С. 3–10.
3. **Поречный С. С., Муксимова Р. Р., Маннапов А. Р.** Моделирование процесса формообразования выступов при электрохимической обработке // Вестн. Уфим. гос. авиац. техн. ун-та. 2010. Т. 14, № 2. С. 195–201.
4. **Каримов А. Х.** Методы расчета электрохимического формообразования / А. Х. Каримов, В. В. Клоков, Е. И. Филатов. Казань: Изд-во Казан. гос. ун-та, 1990.
5. **Котляр Л. М.** Моделирование процесса электрохимической обработки металла для технологической подготовки производства на станках с ЧПУ / Л. М. Котляр, Н. М. Миназетдинов. М.: Academia, 2005.
6. **Миназетдинов Н. М.** Об одной задаче теории размерной электрохимической обработки металлов // ПМТФ. 2009. Т. 50, № 3. С. 214–220.
7. **Миназетдинов Н. М.** Гидродинамическая интерпретация задач теории размерной электрохимической обработки металлов // Прикл. математика и механика. 2009. Т. 73, № 1. С. 60–68.
8. **Житников В. П., Зиннатуллина О. Р., Ошмарина Е. М., Федорова Г. И.** Моделирование электрохимического формообразования при ограничениях на растворение // Науч.-техн. ведомости С.-Петерб. гос. политехн. ун-та. 2009. № 4. С. 221–224.
9. **Житников В. П., Ошмарина Е. М., Федорова Г. И.** Использование разрывных функций для моделирования растворения при стационарном электрохимическом формообразовании // Изв. вузов. Математика. 2010. № 10. С. 77–81.

10. **Житников В. П., Ошмарина Е. М., Зиннатуллина О. Р.** Моделирование прецизионной электрохимической обработки секционированным катодом // ПМТФ. 2011. Т. 52, № 6. С. 185–192.
11. **Клоков В. В.** Электрохимическое формообразование. Казань: Изд-во Казан. гос. ун-та, 1984.
12. **Гуревич М. И.** Теория струй идеальной жидкости. М.: Наука, 1979.

*Поступила в редакцию 30/V 2013 г.*

---